

Starkniederschlagshöhen und -spenden gemäß KOSTRA-DWD-2010R

Auswertungszeitraum von 1951 - 2010, Januar - Dezember

Rasterfeld: 18059

Zeile: 18

Spalte: 59

Seite: 1/2

| Dauerstufe D | Wiederkehrzeit T | | | | | | | | | | | | | | | | | | |
|--------------|------------------|------|------------|------|------------|------|------------|------|------------|------|------------|------|------------|------|------------|------|------------|------|------------|
| | 1 a | | 2 a | | 3 a | | 5 a | | 10 a | | 20 a | | 30 a | | 50 a | | 100 a | | |
| min | Std | mm | l / (s ha) | mm | l / (s ha) | mm | l / (s ha) | mm | l / (s ha) | mm | l / (s ha) | mm | l / (s ha) | mm | l / (s ha) | mm | l / (s ha) | mm | l / (s ha) |
| 5 | | 4,7 | 156,7 | 6,0 | 200,0 | 6,7 | 223,3 | 7,7 | 256,7 | 9,0 | 300,0 | 10,2 | 340,0 | 11,0 | 366,7 | 11,9 | 396,7 | 13,2 | 440,0 |
| 10 | | 7,4 | 123,3 | 9,2 | 153,3 | 10,3 | 171,7 | 11,6 | 193,3 | 13,5 | 225,0 | 15,3 | 255,0 | 16,4 | 273,3 | 17,7 | 295,0 | 19,5 | 325,0 |
| 15 | | 9,1 | 101,1 | 11,4 | 126,7 | 12,7 | 141,1 | 14,3 | 158,9 | 16,6 | 184,4 | 18,9 | 210,0 | 20,2 | 224,4 | 21,8 | 242,2 | 24,1 | 267,8 |
| 20 | | 10,3 | 85,8 | 12,9 | 107,5 | 14,5 | 120,8 | 16,4 | 136,7 | 19,0 | 158,3 | 21,6 | 180,0 | 23,2 | 193,3 | 25,1 | 209,2 | 27,7 | 230,8 |
| 30 | | 11,9 | 66,1 | 15,1 | 83,9 | 17,0 | 94,4 | 19,4 | 107,8 | 22,6 | 125,6 | 25,8 | 143,3 | 27,7 | 153,9 | 30,1 | 167,2 | 33,3 | 185,0 |
| 45 | | 13,2 | 48,9 | 17,2 | 63,7 | 19,5 | 72,2 | 22,5 | 83,3 | 26,4 | 97,8 | 30,4 | 112,6 | 32,8 | 121,5 | 35,7 | 132,2 | 39,7 | 147,0 |
| 60 | | 14,0 | 38,9 | 18,6 | 51,7 | 21,3 | 59,2 | 24,7 | 68,6 | 29,4 | 81,7 | 34,0 | 94,4 | 36,7 | 101,9 | 40,1 | 111,4 | 44,7 | 124,2 |
| 90 | | 15,4 | 28,5 | 20,2 | 37,4 | 23,0 | 42,6 | 26,6 | 49,3 | 31,4 | 58,1 | 36,2 | 67,0 | 39,1 | 72,4 | 42,6 | 78,9 | 47,4 | 87,8 |
| 120 | 2 | 16,4 | 22,8 | 21,4 | 29,7 | 24,3 | 33,8 | 28,0 | 38,9 | 33,0 | 45,8 | 37,9 | 52,6 | 40,8 | 56,7 | 44,5 | 61,8 | 49,5 | 68,8 |
| 180 | 3 | 18,0 | 16,7 | 23,2 | 21,5 | 26,3 | 24,4 | 30,1 | 27,9 | 35,3 | 32,7 | 40,5 | 37,5 | 43,5 | 40,3 | 47,4 | 43,9 | 52,6 | 48,7 |
| 240 | 4 | 19,3 | 13,4 | 24,6 | 17,1 | 27,8 | 19,3 | 31,7 | 22,0 | 37,1 | 25,8 | 42,4 | 29,4 | 45,6 | 31,7 | 49,5 | 34,4 | 54,9 | 38,1 |
| 360 | 6 | 21,1 | 9,8 | 26,8 | 12,4 | 30,0 | 13,9 | 34,2 | 15,8 | 39,8 | 18,4 | 45,4 | 21,0 | 48,6 | 22,5 | 52,8 | 24,4 | 58,4 | 27,0 |
| 540 | 9 | 23,2 | 7,2 | 29,1 | 9,0 | 32,5 | 10,0 | 36,8 | 11,4 | 42,7 | 13,2 | 48,5 | 15,0 | 51,9 | 16,0 | 56,2 | 17,3 | 62,1 | 19,2 |
| 720 | 12 | 24,8 | 5,7 | 30,8 | 7,1 | 34,4 | 8,0 | 38,8 | 9,0 | 44,9 | 10,4 | 50,9 | 11,8 | 54,4 | 12,6 | 58,9 | 13,6 | 64,9 | 15,0 |
| 1080 | 18 | 27,2 | 4,2 | 33,5 | 5,2 | 37,2 | 5,7 | 41,9 | 6,5 | 48,2 | 7,4 | 54,5 | 8,4 | 58,2 | 9,0 | 62,8 | 9,7 | 69,1 | 10,7 |
| 1440 | 24 | 29,1 | 3,4 | 35,6 | 4,1 | 39,4 | 4,6 | 44,2 | 5,1 | 50,7 | 5,9 | 57,2 | 6,6 | 61,0 | 7,1 | 65,8 | 7,6 | 72,3 | 8,4 |
| 2880 | 48 | 34,8 | 2,0 | 41,8 | 2,4 | 45,9 | 2,7 | 51,1 | 3,0 | 58,2 | 3,4 | 65,2 | 3,8 | 69,3 | 4,0 | 74,5 | 4,3 | 81,6 | 4,7 |
| 4320 | 72 | 38,6 | 1,5 | 46,0 | 1,8 | 50,3 | 1,9 | 55,7 | 2,1 | 63,0 | 2,4 | 70,4 | 2,7 | 74,7 | 2,9 | 80,1 | 3,1 | 87,5 | 3,4 |

Angaben in mm: Bemessungsniederschlagswerte h(n)

Angaben in l / (s ha): Regenspende R(n) mit $R(n) = h(n) \times 1,666667 / D[\text{min}]$

Toleranzbereiche:

+/- 10 % für $1 \text{ a} \leq T \leq 5 \text{ a}$

+/- 15 % für $5 \text{ a} < T \leq 50 \text{ a}$

+/- 20 % für $50 \text{ a} < T \leq 100 \text{ a}$

Datenbasis: KOSTRA-DWD-2010R des Deutschen Wetterdienstes. Die Regenspende wurde auf Basis des Bemessungsniederschlags zur jeweiligen Andauer berechnet.

Für die Richtigkeit und Aktualität der Angaben wird keine Gewähr übernommen. Erstellt 07/2022.

Starkniederschlagshöhen und -spenden gemäß KOSTRA-DWD-2010R

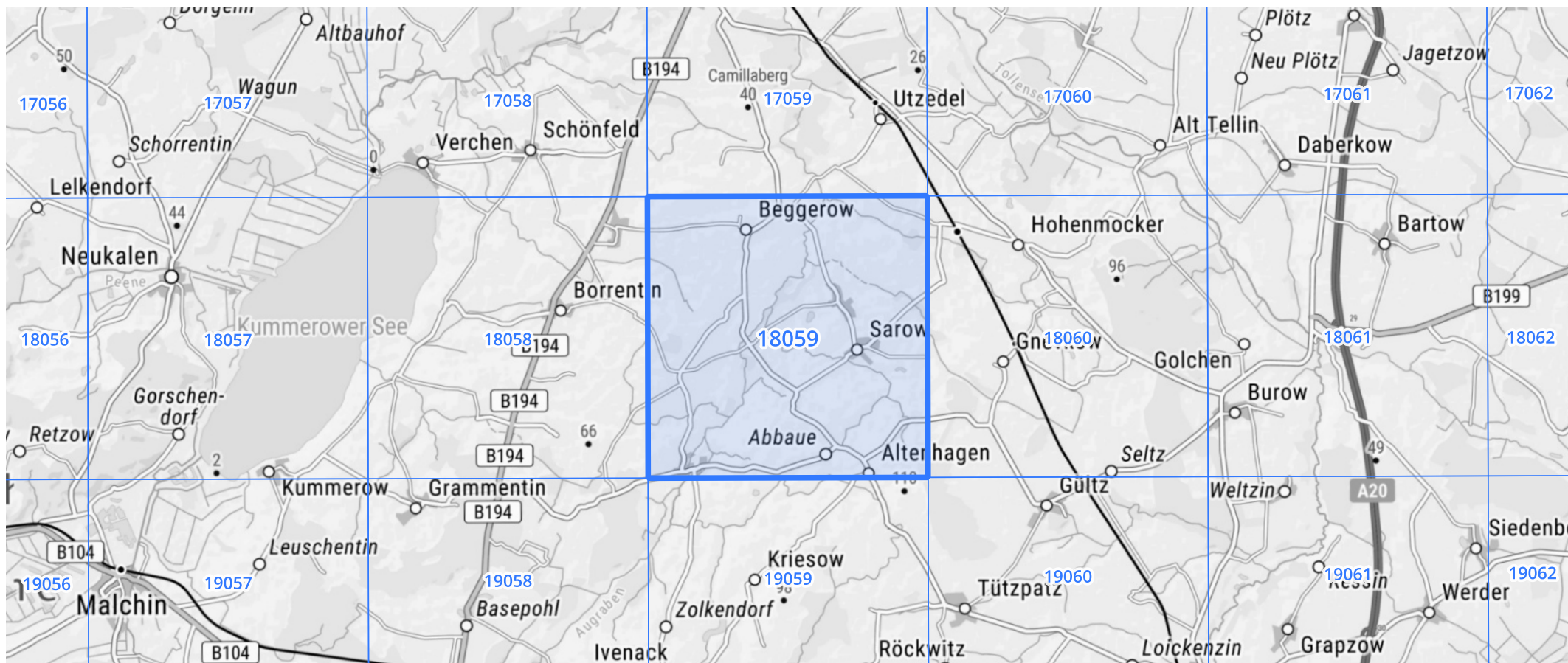
Auswertungszeitraum von 1951 - 2010, Januar - Dezember

Rasterfeld: 18059

Zeile: 18

Spalte: 59

Seite: 2/2



Quelle Rasterdaten: KOSTRA-DWD-2010R des Deutschen Wetterdienstes.

Kartendarstellung: © Bundesamt für Kartographie und Geodäsie (2022), Datenquellen: https://sgx.geodatenzentrum.de/web_public/gdz/datenquellen/Datenquellen_TopPlusOpen.html

Für die Richtigkeit und Aktualität der Angaben wird keine Gewähr übernommen. Erstellt 07/2022.